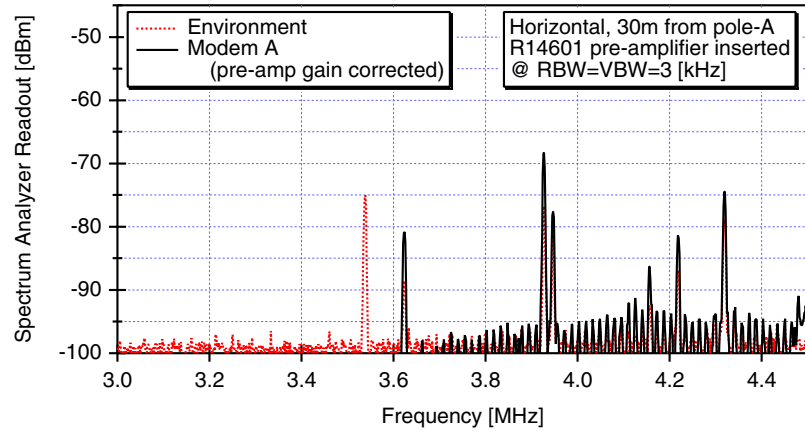
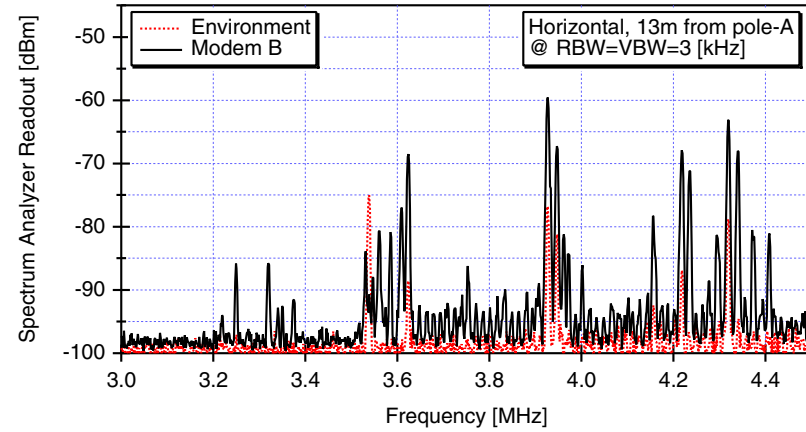


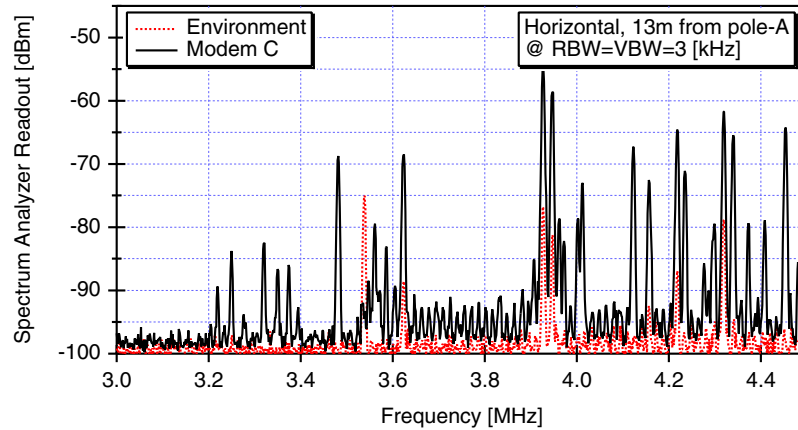
水平成分スペクトル測定結果



(a) モデム A (測定時刻 1249)



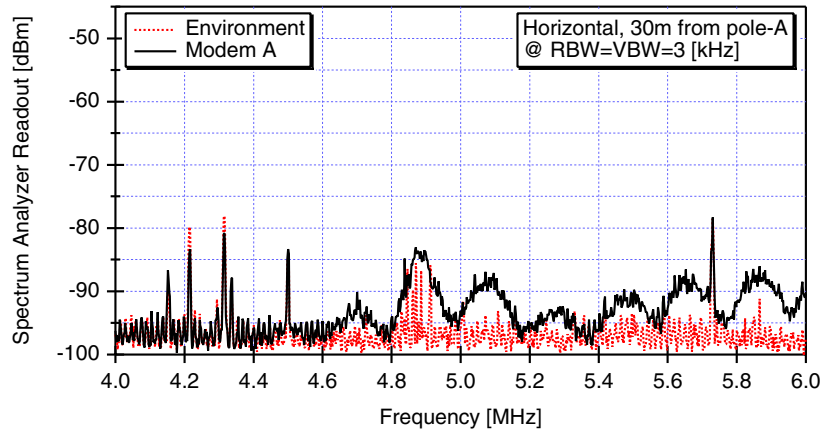
(b) モデム B (測定時刻 1823)



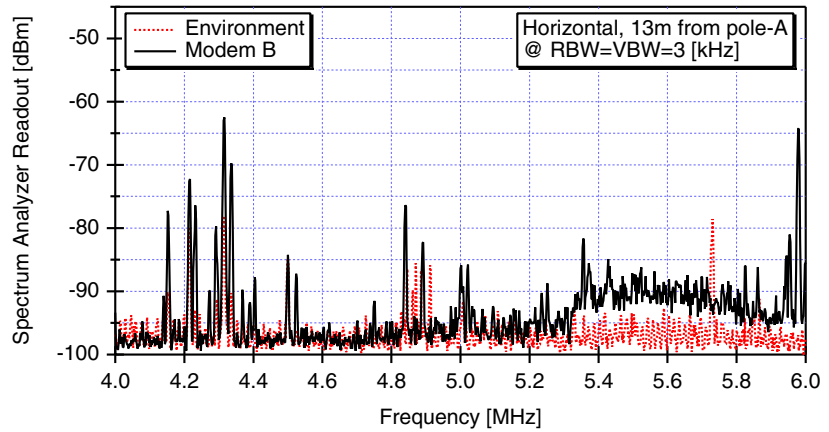
(c) モデム C (測定時刻 1848)

注：この帯域におけるモデム A の測定は前置増幅器 R14601 を挿入して行った．グラフはその利得を減じたものを示している．

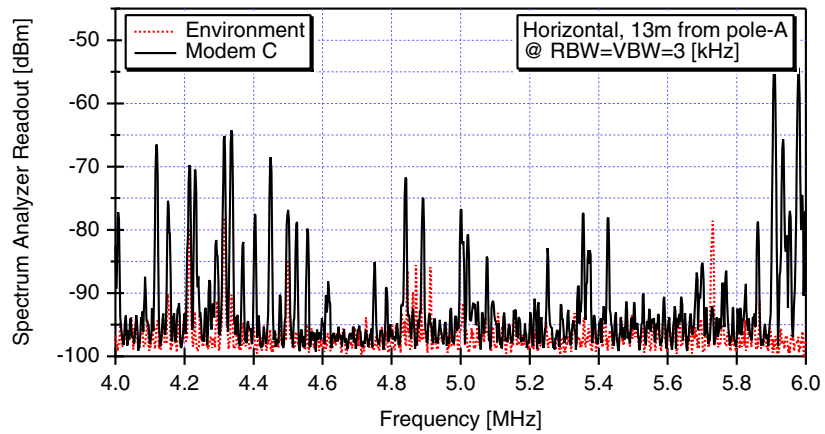
図 A1-1 3.0-4.5[MHz] (水平成分, 環境電磁界測定時刻 1302)



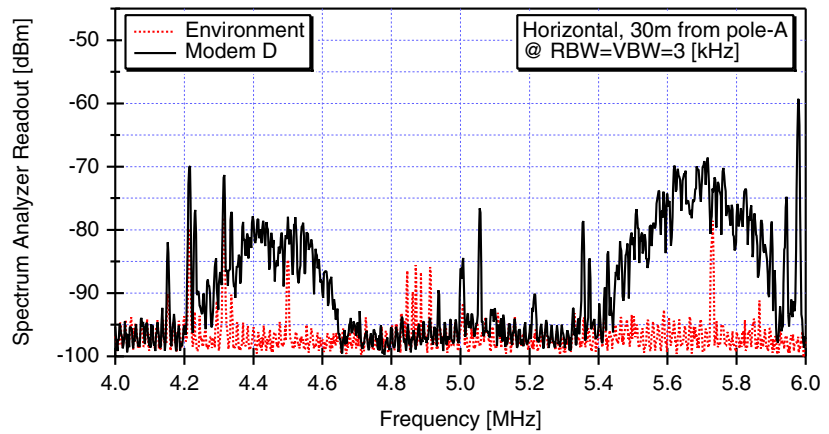
(a) モデム A (測定時刻 1235)



(b) モデム B (測定時刻 1819)

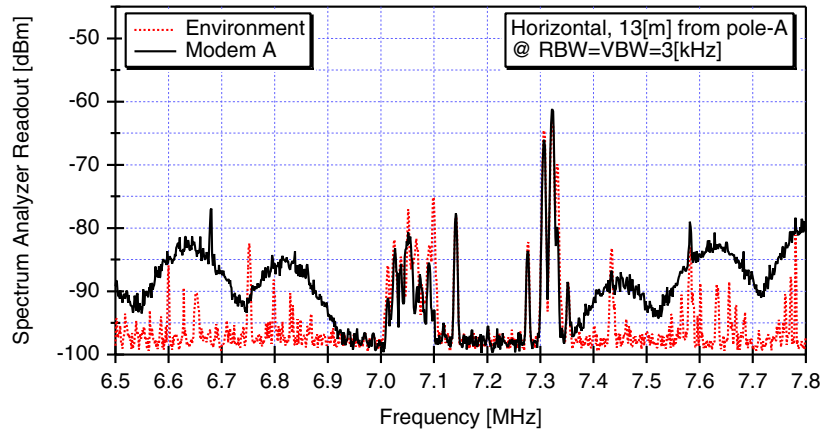


(c) モデム C (測定時刻 1843)

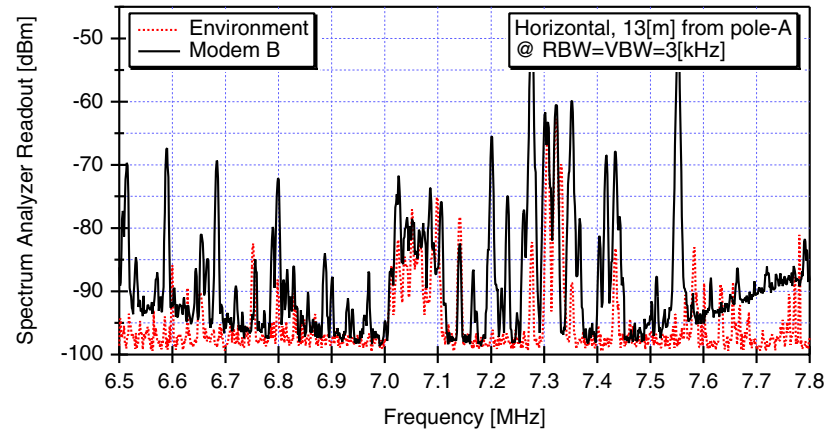


(d) モデム D (測定時刻 1706)

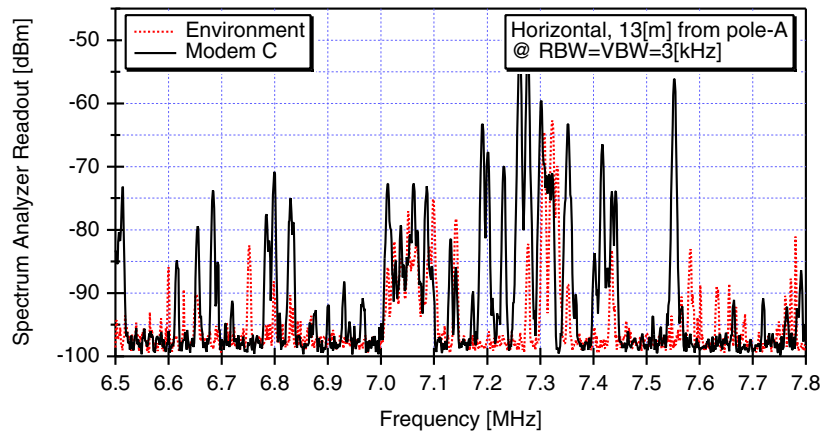
図 A1-2 4.0-6.0[MHz] (水平成分, 環境電磁界測定時刻 1239)



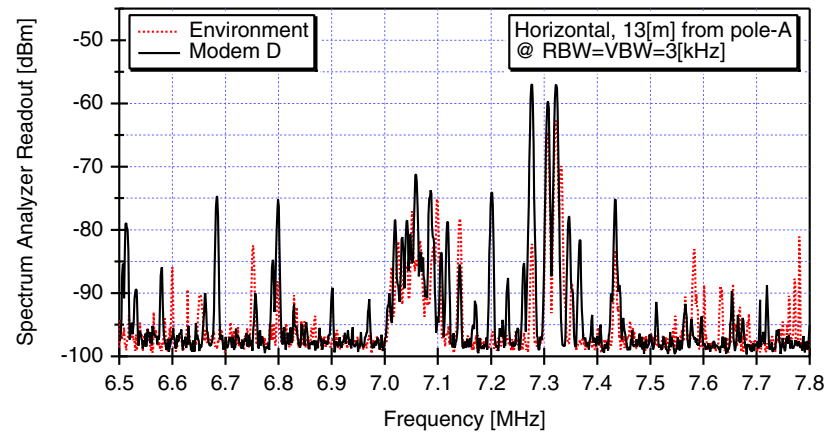
(a) モデム A (測定時刻 1107)



(b) モデム B (測定時刻 1754)

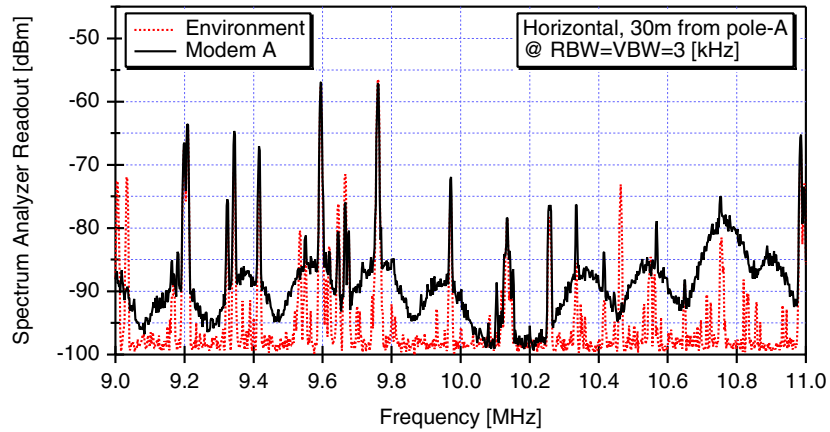


(c) モデム C (測定時刻 1831)

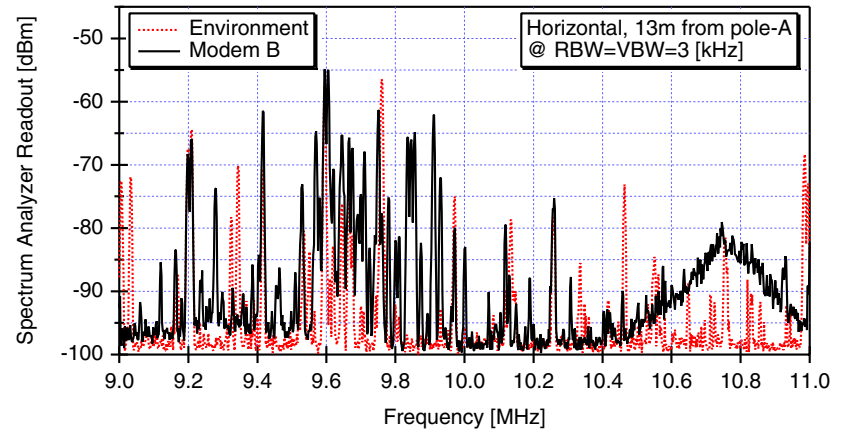


(d) モデム D (測定時刻 1713)

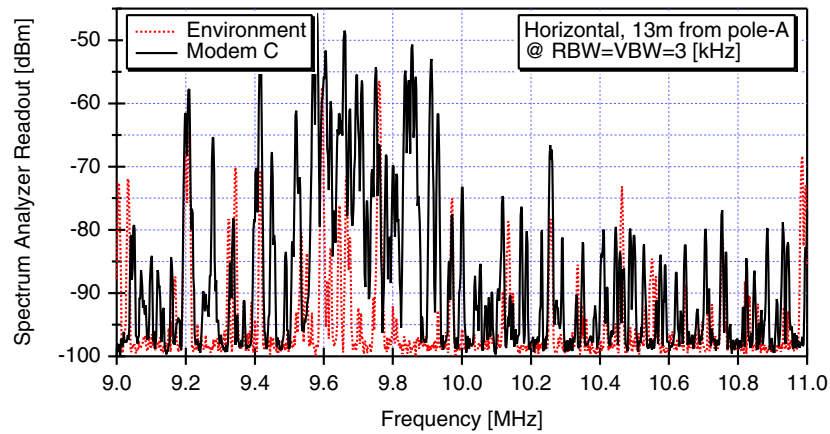
図 A1-3 6.5-7.8[MHz] (水平成分, 環境電磁界測定時刻 1103)



(a) モデム A (測定時刻 1228)

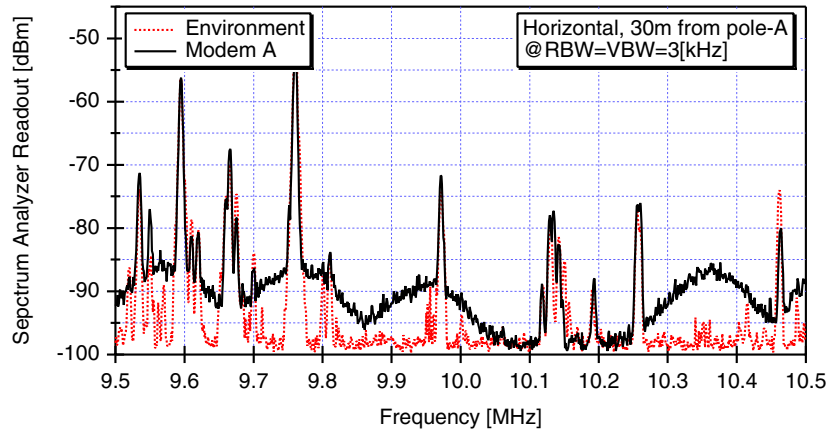


(b) モデム B (測定時刻 1816)

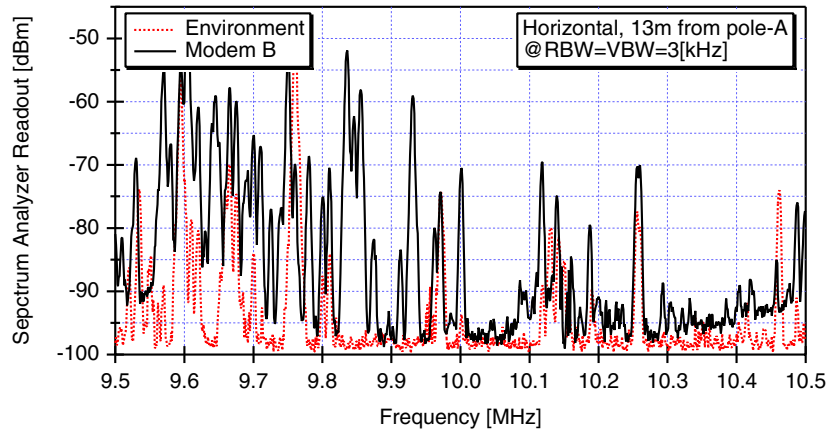


(c) モデム C (測定時刻 1839)

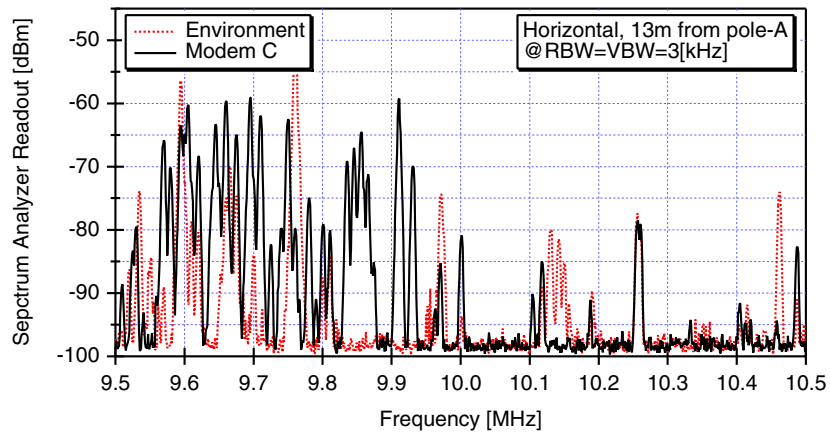
図 A1-4 9.0-11.0[MHz] (水平成分, 環境電磁界測定時刻 1222)



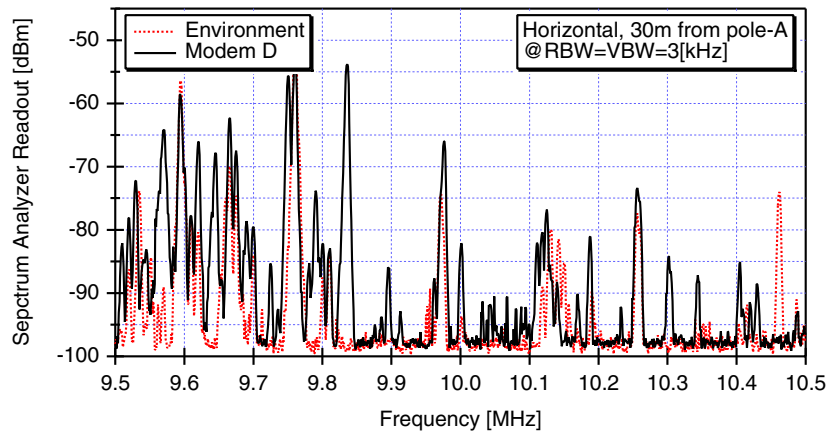
(a) モデム A (測定時刻 1132)



(b) モデム B (測定時刻 1801)

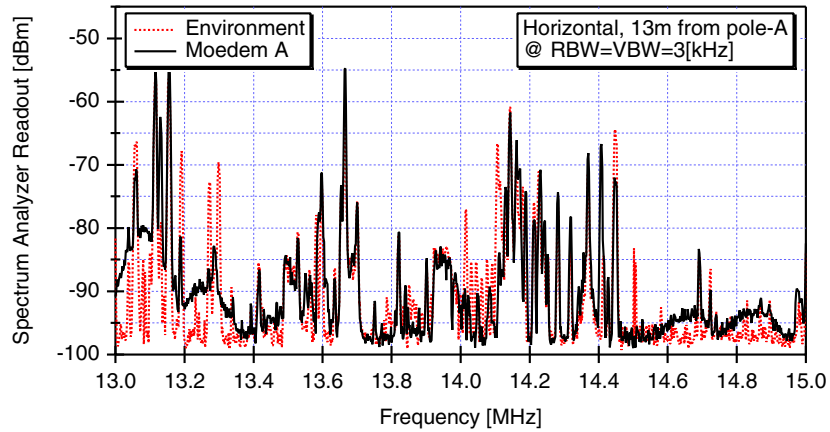


(c) モデム C (測定時刻 1835)

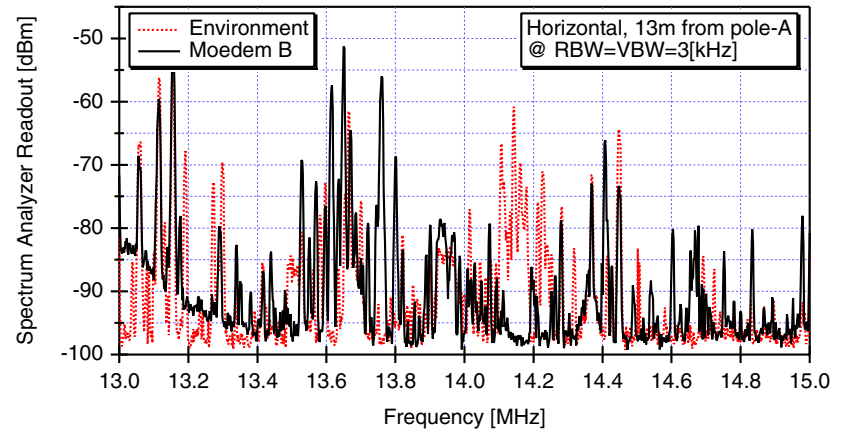


(d) モデム D (測定時刻 1653)

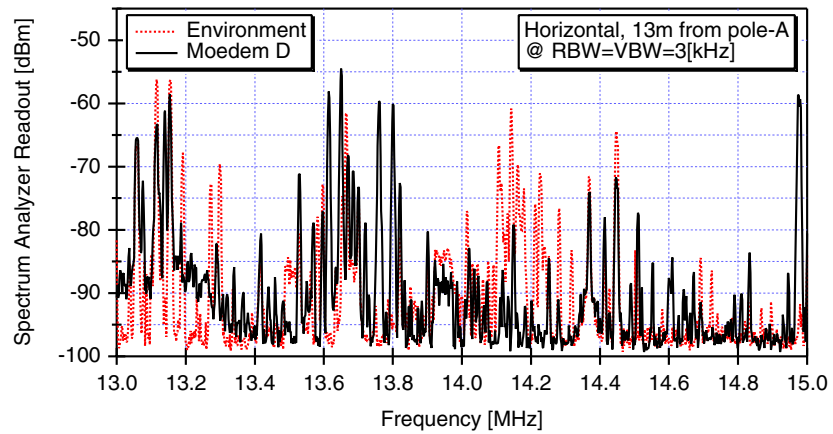
図 A1-5 9.5-10.5[MHz] (水平成分, 環境電磁界測定時刻 1125)



(a) モデム A (測定時刻 1117)

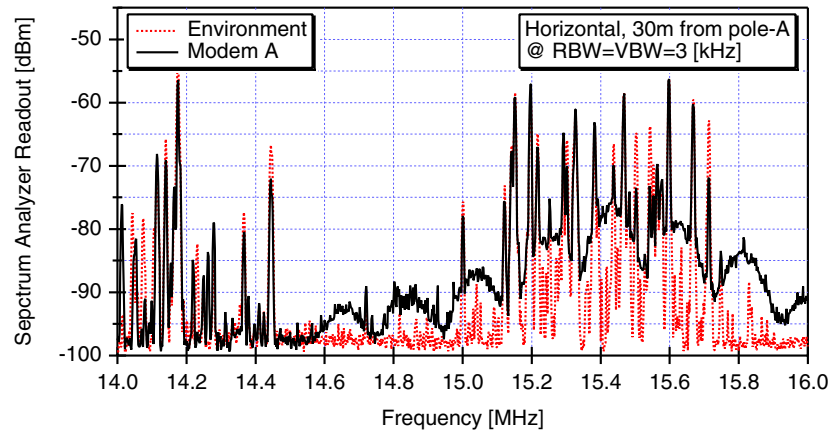


(b) モデム B (測定時刻 1757)

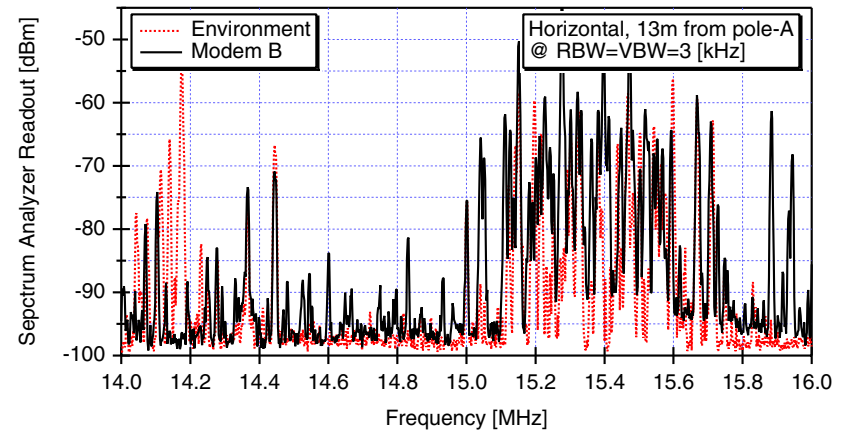


(c) モデム D (測定時刻 1717)

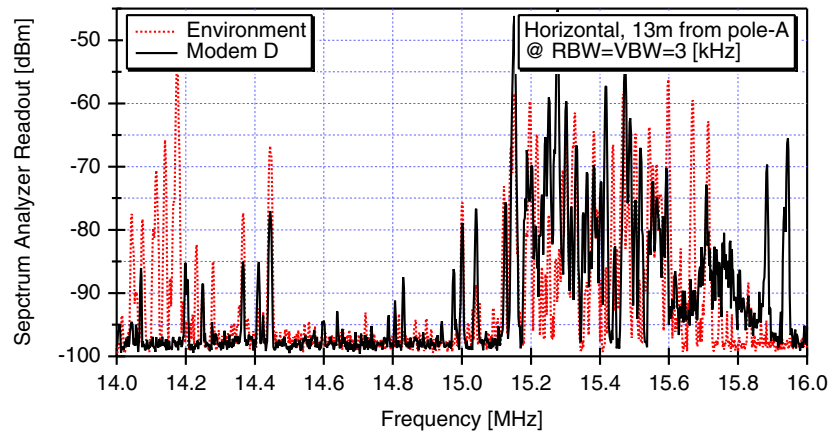
図 A1-6 13.0-15.0[MHz] (水平成分, 環境電磁界測定時刻 1113)



(a) モデム A (測定時刻 1214)



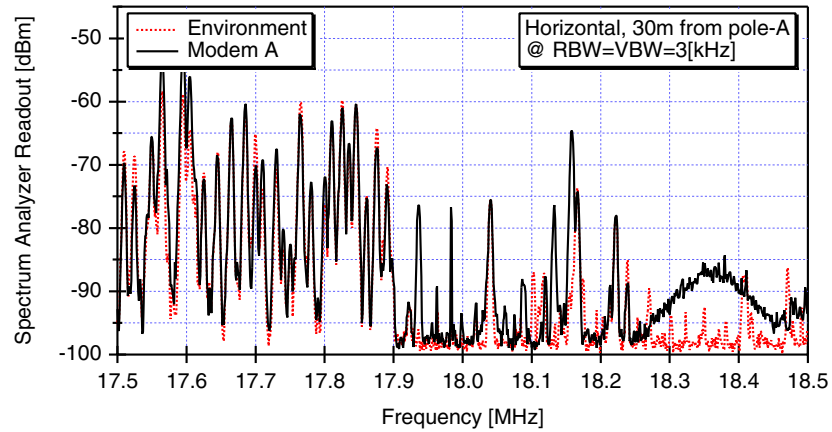
(b) モデム B (測定時刻 1813)



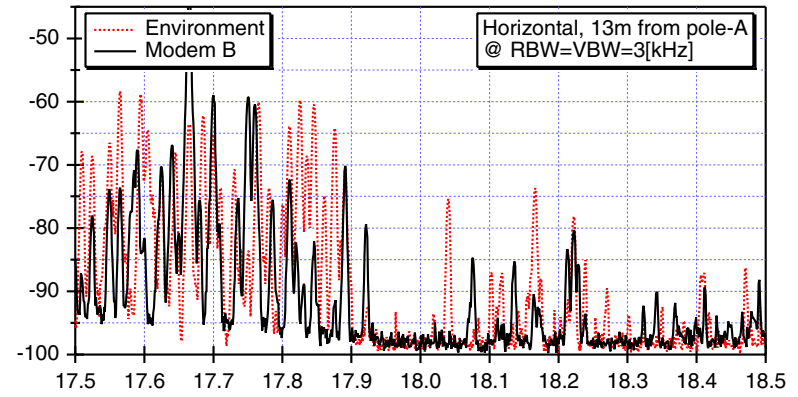
(c) モデム D (測定時刻 1719)

図 A1-7 14.0-16.0[MHz] (水平成分, 環境電磁界測定時刻 12:19)

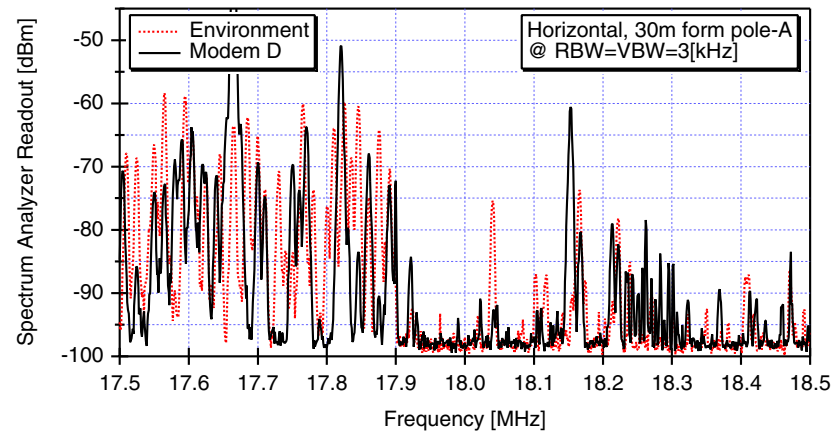




(a) モデム A (測定時刻 1143)



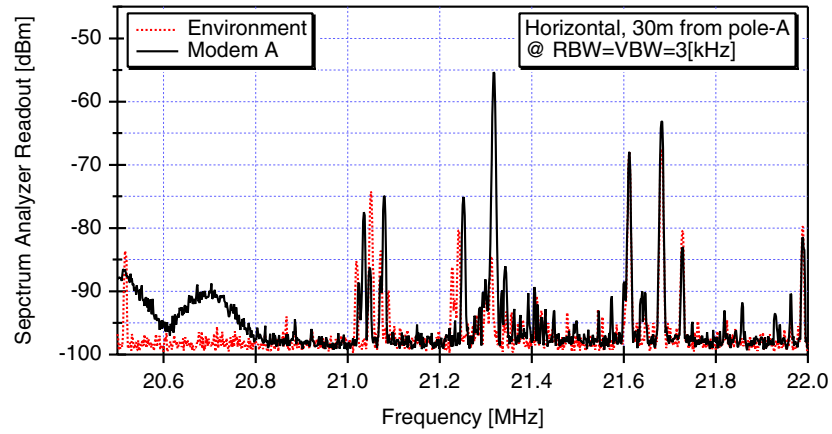
(b) モデム B (測定時刻 1804)



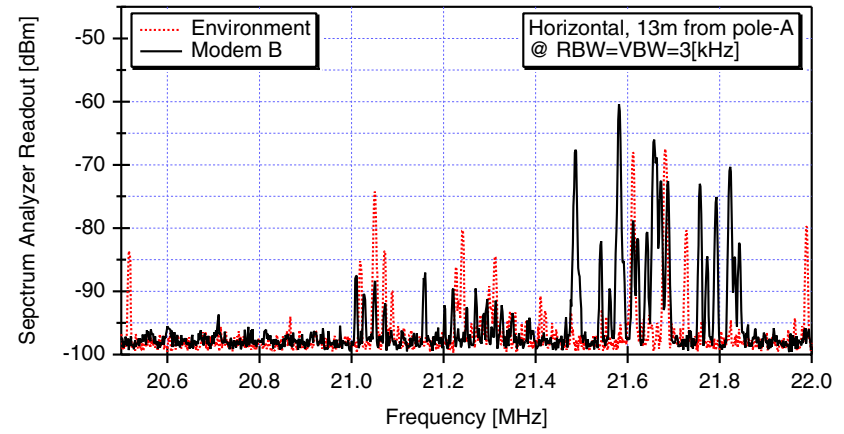
(c) モデム D (測定時刻 1656)

図 A1-8 17.5-18.5[MHz] (水平成分, 環境電磁界測定時刻 1137)

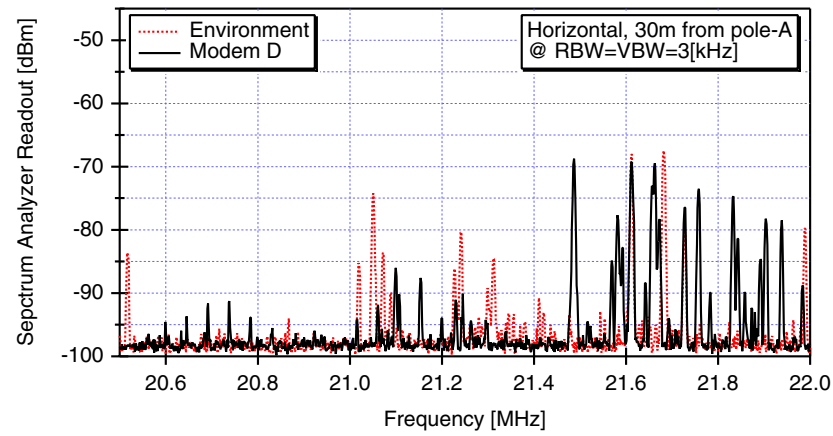




(a) モデム A (測定時刻 1155)

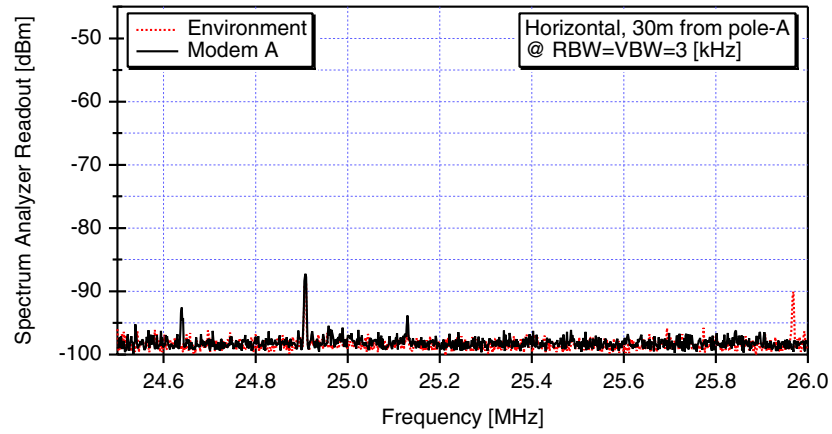


(b) モデム B (測定時刻 1807)

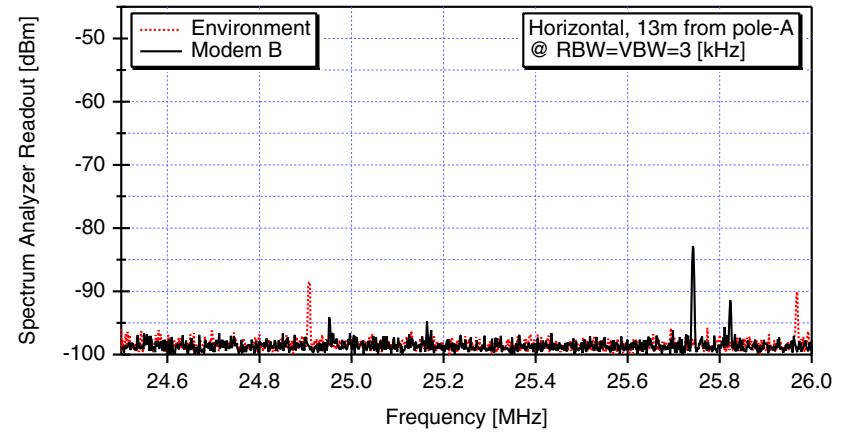


(c) モデム D (測定時刻 1659)

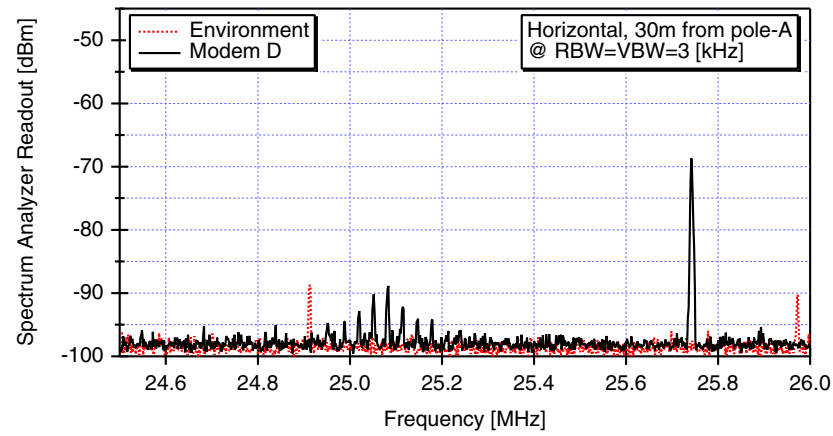
図 A1-9 20.5-22.0[MHz] (水平成分, 環境電磁界測定時刻 1149)



(a) モデム A (測定時刻 1210)



(b) モデム B (測定時刻 1810)



(c) モデム D (測定時刻 1702)

図 A1-10 24.5-26.0[MHz] (水平成分, 環境電磁界測定時刻 1204)